

# การศึกษาอิทธิพลของตำแหน่งอีเล็กโตรดที่มีผลต่อการเปลี่ยนแปลงรูปแบบ

ของโคลโนห่าวนินด์และที่มีผลต่อวัสดุตัวอย่างด้วยการจำลองแบบสองมิติ

**Study on Influence of Electrode Position on Corona Wind Pattern and on**

**Sample with a Two-Dimensional Simulation**

<sup>1,2</sup> สุวิมล เสนห่วงค์ ณ อุยธยา\*

“ชัยนรงค์ จักรธรรมนนท์”

พดุงศักดิ์ รัตนเดโช

อโโนห์ย สุขแสงพนมรุ้ง

<sup>1</sup>ภาควิชาศิกรรมเครื่องกล

คณะวิศวกรรมศาสตร์

มหาวิทยาลัยธรรมศาสตร์ ศูนย์รังสิต

ปทุมธานี 12120

โทร 02-5643001-9

<sup>2</sup>กองวิชาศิกรรมเครื่องกล

ส่วนการศึกษา

โรงเรียนนายร้อยพระจุลจอมเกล้า

จังหวัดนนทบุรี 26001

โทร 037-393487

\* อีเมล [joysuwimon1@hotmail.com](mailto:joysuwimon1@hotmail.com)

## บทคัดย่อ

งานวิจัยนี้มุ่งเน้นสังเกตการใช้สนามไฟฟ้าร่วมกับลมเพื่อเพิ่มประสิทธิภาพในการอบแห้ง ผ่านระเบียบวิธีเชิงตัวเลขแบบไฟล์ผ่านวัสดุตัวอย่างซึ่งในที่นี้เป็นวัตถุรูปทรงสี่เหลี่ยม ในการคำนวณใช้ความเร็วลมเฉลี่ยมีค่า 0.35 เมตรต่อวินาที ( $Re_H \approx 2200$ ) จากการคำนวณพบว่าการเปลี่ยนแปลงตำแหน่งของอีเล็กโตรดมีผลต่อรูปแบบการไหล (Flow pattern) ของ airflow และเมื่อมีการนำวัตถุรูปทรงสี่เหลี่ยมวางขวางภายในท่อ ทำให้รูปแบบการไหลของของไฟล์และวorticité (Vorticity) ของของไฟล์เปลี่ยนแปลงไป อันก่อให้เกิดการลดเวลาการเลเยอร์ที่ผิวของวัตถุ อันก่อให้เกิดการอบแห้งที่ดีขึ้นตามไปด้วย คำสำคัญ: สนามไฟฟ้า รูปแบบการไหล โคลโนห่าวนินด์ วัสดุตัวอย่าง วorticité

## Abstract

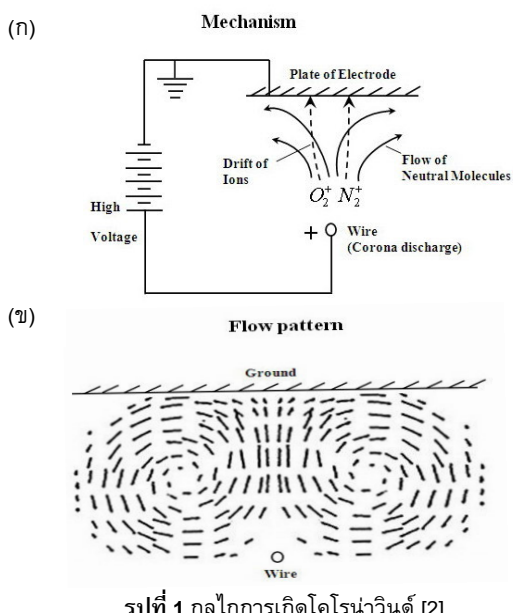
This research numerically investigates the effects of electrode-ground wire positions. On the electrohydrodynamics flow passing a sample or rectangular object. On bulk mean velocity of air is controlled at 0.35 m/s ( $Re_H \approx 2200$ ). The results show that adjusting the position of electrode affects the Corona wind pattern. In addition, with adjusting the position of sample, flow pattern and vorticity are changed. Moreover, vorticity of airflow above sample is influenced with sample drying.

**Keywords:** Electric field, Flow pattern, Corona wind, Sample, Vorticity

## 1. บทนำ

กระบวนการอบแห้ง (Drying process) เป็นกระบวนการที่มีความสำคัญยิ่งต่ออุตสาหกรรมการเกษตร เนื่องจากเป็นการรักษาคุณภาพของผลิตภัณฑ์ให้มีอายุยาวนานขึ้น โดยเทคนิคการอบแห้งแบบดั้งเดิม (Conventional drying technique) คือ การอบแห้งโดยวิธีการใช้ลมร้อน (Hot air drying) ซึ่งเป็นที่นิยมใช้กันอย่างแพร่หลาย เนื่องจากสามารถควบคุมระดับอุณหภูมิของความร้อนที่ต้องการให้แก่ผลิตภัณฑ์และยังสามารถควบคุมช่วงเวลาการใช้งานเครื่องอบแห้งได้ตามต้องการ แต่ต้องใช้เวลาและแรงงานมาก [1] ปัจจุบันนี้จึงมีนักวิจัยพยายามปรับปรุงวิธีการอบแห้งด้วยลมร้อนซึ่งเป็นการอบแห้งแบบดั้งเดิมกับร่วมวิธีใหม่ เพื่อให้การอบแห้งมีประสิทธิภาพดียิ่งขึ้น มีวิธีการหนึ่งที่น่าสนใจ คือ การเพิ่มอัตราการอบแห้งด้วยสนามไฟฟ้า หรือเรียกว่าอิเล็กโตรไซโตรไดนาไมก์ส (Electrohydrodynamics; EHD)

การเพิ่มประสิทธิภาพการอบแห้งด้วยวิธีการอิเล็กโตรไซโตรไดนาไมก์ส สามารถอธิบายกลไกการเกิดด้วยรูปที่ 1 กล่าวคือ กระแสไฟฟ้าถูกจ่ายจากแหล่งกำเนิดไฟฟ้าแรงดันสูงไปยังอิเล็กโตรด ข้างๆ ทำให้อากาศที่อยู่ใกล้ๆ ถูกไอโอดีน (Ionized) และผลักให้เคลื่อนที่ไปยังgravitational electrode (Ground electrode) ขณะที่อากาศเคลื่อนที่จะชนกับโมเลกุลอากาศที่เป็นกลาง (Neutral molecules) ดังรูปที่ 1 (g) และเกิดการถ่ายเทโมเมนตัม (Momentum transfer) ผลทำให้เกิดปฏิกิริยาของการหมุนวนของกระแสลมแบบทุติยภูมิ (Secondary bulk flow) หรือเรียกว่าโคลโนห่าวนินด์ จากการศึกษาของ Yabe และคณะ [2] แรงนี้ของจากสนามไฟฟ้า (Electric body force) เหนี่ยวแน่นให้เกิดอากาศหมุนวนเป็นสองถูก (Vortices) ที่สมมาตรกันสองถูก โดยมีการหมุนในทิศทางตรงกันข้าม ดังแสดงในรูปที่ 1 (x)



รูปที่ 1 กลไกการเกิดโคลโนร์วินด์ [2]

ในช่วงทศวรรษที่ผ่านมา มีนักวิจัยหลายกลุ่ม [3-13] ศึกษากระบวนการอีเล็กโตรไฮโตรไดนาไมก์ส์เพื่อเพิ่มประสิทธิภาพในงานด้านต่างๆ อาทิ Kasayapanand [4] ใช้ระเบียบวิธีเชิงตัวเลขศึกษารูปแบบการเคลื่อนที่และการกระจายตัวของอนุ่มไฟฟ้า (Tube bank) ภายใต้สถานภาพไฟฟ้า เพื่อวิเคราะห์กลไกการเพิ่มการถ่ายเทความร้อนโดยการพาแบบบังคับร่วมกับโคลโนร์วินด์ซึ่งเป็นผลมาจากการเห็นได้ของสถานภาพไฟฟ้าจากกลุ่มอีเล็กโตรด พนว่า เทอมอลబารีเลเยอร์ (Thermal boundary layer) ภายในท่อถูกรับกันโดยผลของสถานภาพไฟฟ้าและค่าแรงดันไฟฟ้า อันส่งผลต่อการเปลี่ยนแปลงรูปแบบการไหลของอนุ่มไฟฟ้า ทำให้มีประสิทธิภาพเพิ่ม การถ่ายเทความร้อนเพิ่มขึ้น สัมพันธ์กับการเพิ่มแรงดันไฟฟ้า แต่ลดลงที่เรียโนล์ดั่นแม่บอร์เพิ่ม

Ahmedou และคณะ [7] ศึกษาการเพิ่มการถ่ายเทความร้อนและมวลในผลิตภัณฑ์อาหารด้วยอีเล็กโตรไฮโตรไดนาไมก์ส์ พนว่า ความเร็วของอากาศที่ต่ำและระยะห่างระหว่างผลิตภัณฑ์อาหารและกระแสโคลโนร์ไกลักษณะ จะมีการเพิ่มอัตราการอบแห้งที่ดี และเมื่อใช้แบบจำลองทางคณิตศาสตร์ ทำให้เห็นสถานการณ์ (Velocity field) ของอนุ่มไฟฟ้าที่หมุนอันเป็นผลมาจากการไอโอนิกวินด์ (Ionic wind)

Chaktranond และคณะ [12] ศึกษาการถ่ายเทความร้อนและมวลของการอบแห้งด้วยอีเล็กโตรดไฮโตรไดนาไมก์ส์ในวัสดุพูนที่จัดวางภายในท่อ โดยการใช้ไฟฟ้าแรงดันสูงที่จ่ายไปยัง漉ดทองแดงซึ่งติดตั้งในแนวตั้งจากและแนววางของการไหลของกระแสลมถูกใช้อยู่ในช่วง 0 ถึง 15 KV อุณหภูมิและความเร็วของลมร้อนที่ไหลเข้าหน้าตัดทดสอบคงที่ที่ประมาณ 60 °C และ 0.35 m/s ตามลำดับ ผลการทดสอบแสดงให้เห็นว่าการจัดเรียงชั้นของลูกแก้วในวัสดุพูนมีผลต่อกลไกของการแพร่ของไอ้น้ำ (Vapor diffusion) และการไหลแบบคัพลารี่ (Capillary flow) ภายในแพคเบด ซึ่งอิทธิพลของโคลโนร์วินด์ที่เกิดในกระแสลมร้อนเห็นได้แพคเบดทำให้อัตราการอบแห้งมีค่าเพิ่มขึ้นอย่างมาก และการเพิ่มขนาดของสถานภาพไฟฟ้ามีผลทำให้อุณหภูมิผิวน้ำแพคเบดสูงเร็วขึ้น

Saneewong Na Ayuttaya [13] ศึกษาการจัดเรียงอีเล็กโตรดที่มีผลต่อรูปแบบของโคลโนร์วินด์ พนว่า เมื่อระยะห่างระหว่างอีเล็กโตรด กับกราวด์ยิ่งน้อยยิ่งทำให้เพิ่มความเข้มของสนามไฟฟ้าและเกิดเป็นโคลโนร์วินด์ขนาดเล็ก แต่มีความรุนแรงมากกว่าระยะห่างระหว่างอีเล็กโตรดกับกราวด์ที่มาก เมื่อเพิ่มจำนวนอีเล็กโตรดยิ่งทำให้เพิ่มความเข้มของสนามไฟฟ้าและโคลโนร์วินด์เป็นวงกว้างมากยิ่งขึ้น

จากที่ผ่านมา มีหลายงานวิจัยที่ศึกษาการอบแห้งของวัสดุตัวอย่างที่วางไว้ในท่อ แต่ยังไม่ได้ศึกษาว่าวัสดุตัวอย่างที่วางขวางทางการไหลของอนุ่มไฟฟ้ามีผลต่อรูปแบบของโคลโนร์วินด์ที่เปลี่ยนแปลงไปอย่างไร งานวิจัยนี้จึงมุ่งเน้นการหาตำแหน่งของอีเล็กโตรดที่เหมาะสมที่มีผลต่อรูปแบบของโคลโนร์วินด์ รวมทั้งตำแหน่งของวัสดุตัวอย่างที่ได้รับอิทธิพลจาก EHD มากที่สุด ซึ่งจะเป็นผลให้เกิดการลดเวลาการอบแห้งที่ดียิ่งขึ้น

## 2. การวิเคราะห์เชิงทฤษฎี

ในการคำนวณพิจารณาการไหลแบบสองมิติและการไหลของอากาศถูกสมมติให้เป็นการไหลแบบอัตโนมัติ สำหรับประภารณ์การเคลื่อนที่ของอนุ่มไฟฟ้าจากสมการความต่อเนื่อง (Continuity equation) และสมการนาเวียร์สโตกส์ (Navier-Stokes equation)

$$\nabla \cdot \bar{u} = 0, \quad (1)$$

$$\rho \left[ \frac{\partial \bar{u}}{\partial t} + (\bar{u} \cdot \nabla) \bar{u} \right] = -\nabla \bar{P} + \mu \nabla^2 \bar{u} + \bar{F}_E, \quad (2)$$

เมื่อพิจารณาอัตโนมัติของอนุ่มไฟฟ้าและสถานภาพไฟฟ้าพิจารณาจากแรงเนื่องจากประจุ (Coulomb force) แสดงด้วยสมการ

$$\bar{F}_E = q \bar{E}, \quad (3)$$

ในระบบการทำความร้อน โดยปกติการอธินายพฤติกรรมของสถานภาพไฟฟ้าจะกระทำการจำลองผ่านสมการของแมกซ์เวล (Maxwell's equations) ใช้อธินายการเปลี่ยนแปลงของสถานภาพไฟฟ้า เมื่อใส่เงื่อนไขของเขตที่สมมูลลงไปก็สามารถอธินายพฤติกรรมของสถานภาพไฟฟ้าได้อย่างสมบูรณ์

$$\nabla \cdot \bar{E} = q \quad (4)$$

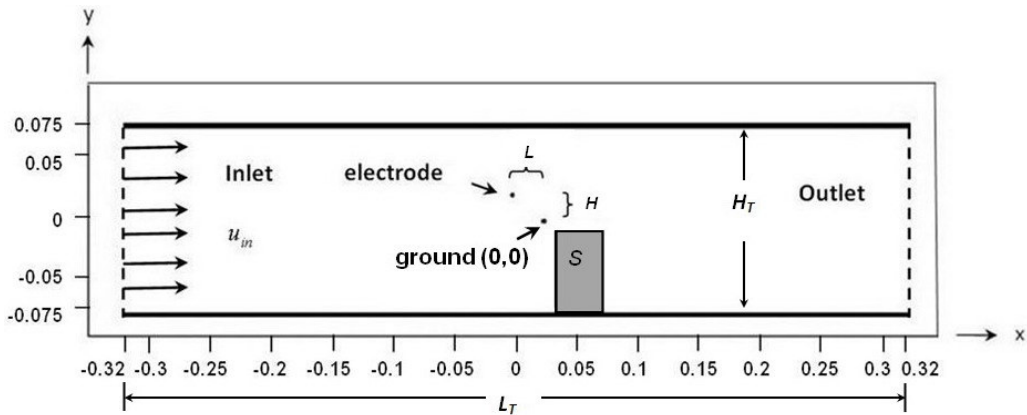
โดยความเข้มของสถานภาพไฟฟ้าอธินายจากสมการที่ 5

$$\bar{E} = -\nabla \cdot V \quad (5)$$

พิจารณาสมการการหมุน (Vorticity) ของอนุ่มไฟฟ้า

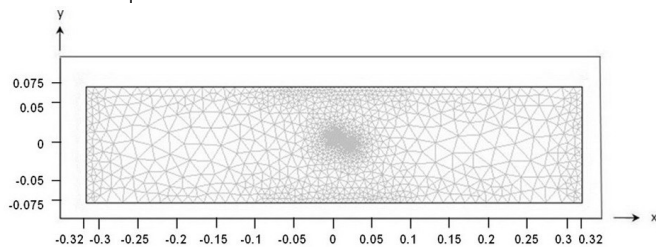
$$\bar{\omega} = \nabla \times \bar{u} \quad (6).$$

## 3. โดเมนของการคำนวณ



รูปที่ 2 โดเมนการคำนวณที่มีวัตถุรูปทรงสี่เหลี่ยมวางภายในห้อง

ในการพิจารณารูปแบบการเกิดของโคลโนร่าвин์จึงกำหนดโดยเม้นการคำนวณเป็นแบบจำลองอุ่มงค์ลสองมิติ มีขนาดยาว ( $L_T$ ) x สูง ( $H_T$ ) เท่ากับ  $0.64 \text{ m} \times 0.15 \text{ m}$  ให้ด้านบนและด้านล่างของอุ่มงค์ ทำจากฉนวน อีเล็กโทรดและกราวด์สมมติเป็นจุด สมมติให้กราวด์อยู่ที่พิกัด  $(0,0)$  เสมอ ความสูงของอีเล็กโทรดและกราวด์ในแนวแกน  $y$  เท่ากับ  $H$  โดยทำการเปลี่ยนแปลงตำแหน่งและระยะของอีเล็กโทรดในแนวแกน  $x$  จากกราวด์ ( $L$ ) เพื่อศึกษาตำแหน่งของอีเล็กโทรดที่เหมาะสมที่มีผลต่อรูปแบบของโคลโนร่าвин์ เมื่อมีวัสดุตัวอย่าง (Sample;  $S$ ) ในที่นี้ใช้เป็นวัตถุรูปทรงสี่เหลี่ยมที่ต้องการอบแห้ง ซึ่งวางแผนทางการไฟฟ้าของห้องให้ภายในห้องไว้แล้ว รูปที่ 2 แสดงตำแหน่งวัตถุรูปทรงสี่เหลี่ยมที่มีความกว้าง  $3.5 \text{ cm}$  และสูง  $6 \text{ cm}$  เป็นวัสดุไมลีนไกล (No slip) โดยไม่คำนึงถึงความชื้นบรรจุและค่าความพรุน



รูปที่ 3 ตัวอย่างกริดที่ใช้ในการคำนวณ

การวิเคราะห์ปัญหาในสภาพะคงตัว (Steady state) โดยใช้ระเบียบวิธีแบบไฟโน่อลิเมน์แบบสองมิติชนิดเอกลิเมน์สามเหลี่ยม (Triangular element) จากโปรแกรม COMSOL™ Multiphysics 3.4 ประมาณ 10,000 เอลิเมน์ โดยใช้ค่าคาดคะเนอ่อนสูงสุด  $0.01\%$  ดังรูปที่ 3 ให้แรงดันไฟฟ้า ( $V$ ) เท่ากับ  $15 \text{ kV}$  [14] และมีความเร็วลมที่ทางเข้าเท่ากับ  $0.35 \text{ m/s}$  ( $\text{Re}_H \approx 2200$ ) [12] ซึ่งจำนวนกริดที่เพิ่มขึ้นไม่มีผลต่อคำตอบ

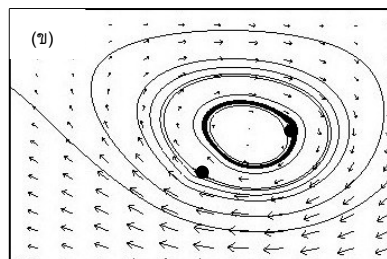
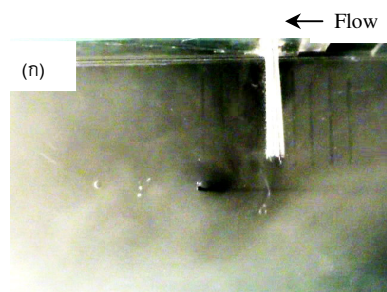
สภาพะขอบเขต (Boundary condition) ที่ใช้ในการคำนวณแสดงในตารางที่ 1

ตารางที่ 1 สภาวะขอบเขตที่ใช้ในการคำนวณ

	$u(\text{m/s})$	$V(\text{kV})$	$q(\text{C/m}^3)$
Electrode	$u_0 = 0$	$V = 15$	$q_0 = 3$
Ground	$u = 0$	$V = 0$	$q = 0$
Inlet	$u = u_{in}$	$\partial V / \partial x = 0$	$\partial q / \partial x = 0$
Outlet	$\partial u / \partial x = 0$	$\partial V / \partial x = 0$	$\partial q / \partial x = 0$
Upper wall	$u = 0$	$\partial V / \partial y = 0$	$\partial q / \partial y = 0$
Lower wall	$u = 0$	$\partial V / \partial y = 0$	$\partial q / \partial y = 0$

#### 4. ผลการวิเคราะห์และวิเคราะห์ผล

##### 4.1 การตรวจสอบความถูกต้องของการคำนวณ



รูปที่ 4 รูปแบบการเคลื่อนของลม (g) การทดลอง [16]  
(u) โปรแกรม COMSOL™ Multiphysics

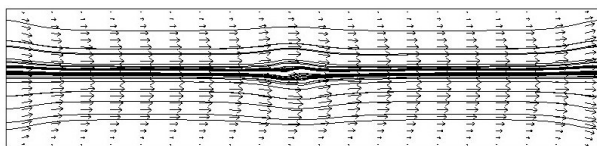
ก่อนทำการวิเคราะห์ปัญหาโดยใช้โปรแกรม COMSOL™ Multiphysics ได้ทำการตรวจสอบความถูกต้องของโปรแกรมโดยทำการเปรียบเทียบจากการทดลองของรัชพงศ์ กิริวัชรินทร์และคณะ [15] ซึ่ง

อธิบายลักษณะลมหมุนวนที่เกิดจากสนามไฟฟ้าภายใต้ลมร้อนด้วยเทคนิคควันธูป (Flow visualization with incense-smoke technique) ดังรูปที่ 4 (ก) แสดงรูปแบบการไหลของลมไหหลที่มีการใช้แรงดันไฟฟ้าความเร็วที่ 15 kV และ 0.35 m/s ตามลำดับ เปรียบเทียบกับรูปแบบของไหหลที่ได้จากการโปรแกรม COMSOL™ Multiphysics ในสภาวะทดสอบเดียวกัน ดังรูปที่ 4 (ข) พบรูปแบบการไหลเป็นไปในลักษณะเดียวกัน จากรูป 4 (ก) สามารถเห็นว่ากระแสลมเคลื่อนจากปลายข้ออีเล็กโตรดมาหมุนวนใกล้กับบริเวณตำแหน่งกราวด์ ซึ่งการคำนวณจากโปรแกรมและการทดลองมีความใกล้เคียงกันมาก ดังนั้นโปรแกรมที่นำมาใช้ในการวิเคราะห์จึงมีความน่าเชื่อถือสามารถนำมาใช้คำนวณปัญหาที่จะวิเคราะห์ได้

#### 4.2 ผลของการเปลี่ยนแปลงตำแหน่งอีเล็กโตรด

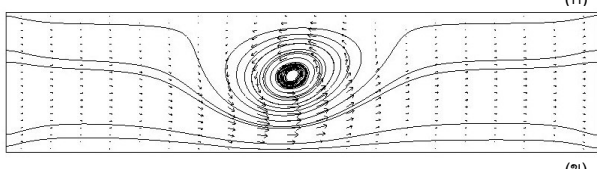
เมื่อไม่ใช้สนามไฟฟ้าพบว่าอากาศเคลื่อนที่เป็นเส้นตรงไม่เกิดการหมุนวน ดังรูปที่ 5

Flow →

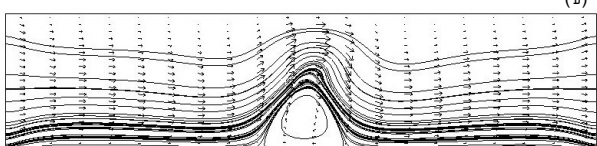


รูปที่ 5 รูปแบบการไหลของลมไหหลไม่ใช้สนามไฟฟ้า ( $V=0$  kV)

Flow →



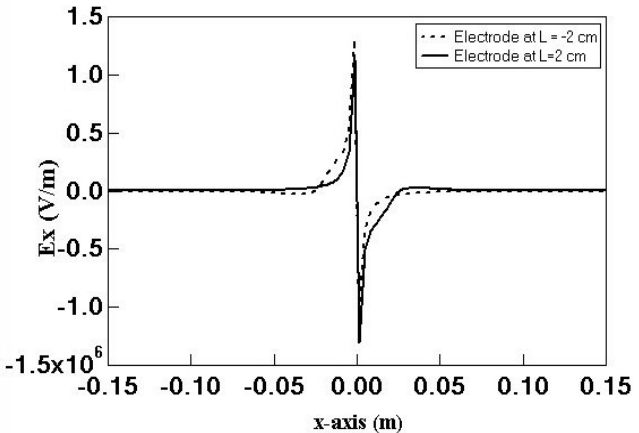
(ก)



(ข)

รูปที่ 6 รูปแบบการไหลของลมไหหลที่มีการเปลี่ยนแปลงตำแหน่งอีเล็กโตรดที่  $H = 1$  cm (ก)  $L = -2$  cm (ข)  $L = 2$  cm

การวางแผนอีเล็กโตรดในตำแหน่งที่สูงกว่ากราวด์มีผลทำให้เกิดแรงเนื่อง (Shear flow) ของประจุกับอากาศ เมื่อปล่อยแรงดันไฟฟ้าทำให้อากาศเกิดการหมุนวนเปลี่ยนทิศทาง [13] จึงกำหนดให้  $H = 1$  cm เสมอ แต่เมื่อพิจารณา  $L$  พบรูปที่ 6 (ก) เมื่อวางแผนอีเล็กโตรดทางด้านซ้ายของกราวด์ที่  $L = -2$  cm ทำให้เกิดการหมุนวนของอากาศไปทางด้านบน แต่เมื่อวางแผนอีเล็กโตรดทางด้านขวาของกราวด์ที่  $L = 2$  cm ดังรูปที่ 6 (ข) พบรูปแบบการหมุนวนของอากาศเกิดทางด้านล่างภายในห้องพิจารณาสนามไฟฟ้าที่  $y = 0$  m คือ ระดับกึ่งกลางของห้อง จากรูปที่ 7 พบรูปแบบการหมุนวนของอากาศที่เกิดลักษณะเดียวกัน เมื่อวางแผนอีเล็กโตรดทางด้านซ้ายของกราวด์ ( $L = -2$  cm) จะให้ค่าสนามไฟฟ้าสูงสุดเกิดทางด้านขวาของกราวด์ แต่เมื่อพิจารณาอีเล็กโตรดทางด้านขวาของกราวด์ ( $L = 2$  cm) จะให้ค่าสนามไฟฟ้าต่ำสุดเกิดทางด้านขวาของกราวด์ โดยสนามไฟฟ้าทั้งสองกรณีเกิดเป็นลักษณะที่สมมาตรกัน



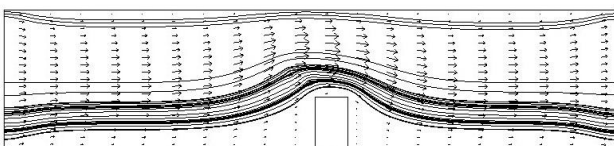
รูปที่ 7 สนามไฟฟ้าที่มีการเปลี่ยนแปลงตำแหน่งอีเล็กโตรด พิจารณาที่  $y = 0$  m

#### 4.3 ผลของการเปลี่ยนแปลงตำแหน่งอีเล็กโตรด

##### 4.3.1 ผลของการเปลี่ยนแปลงตำแหน่งอีเล็กโตรด เมื่อมีวัตถุรูปทรงสี่เหลี่ยมวางด้านขวาของกราวด์

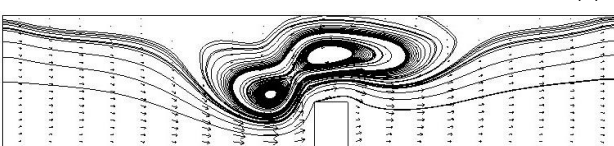
เมื่อนำวัตถุรูปทรงสี่เหลี่ยมวางทางขวาของกราวด์พิจารณารูปที่ 8 แสดงรูปแบบการไหลของลมไหหลเมื่อไม่มีแรงดันไฟฟ้า ของไหหลไหหลผ่านวัตถุรูปทรงสี่เหลี่ยมจะเกิดการหลบสิ่งกีดขวาง แล้วจึงกลับเป็นการไหลแบบเดิม

Flow →

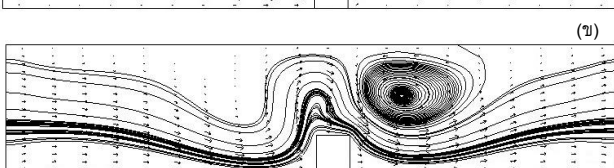


รูปที่ 8 รูปแบบการไหลของลมไหหลที่ไม่มีแรงดันไฟฟ้า ( $V=0$  kV) เมื่อมีวัตถุรูปทรงสี่เหลี่ยมวางด้านขวาของกราวด์

Flow →



(ก)

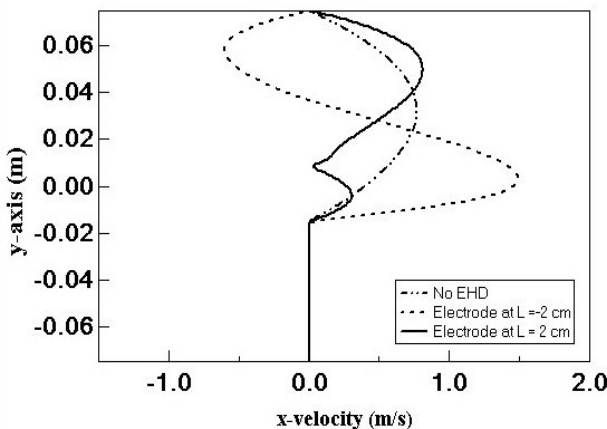


(ข)

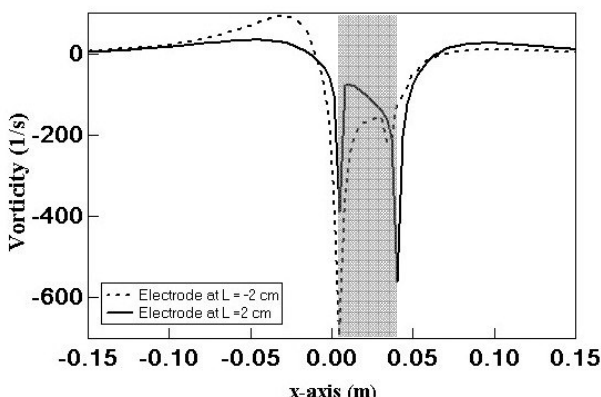
รูปที่ 9 รูปแบบการไหลของลมไหหลที่มีการเปลี่ยนแปลงตำแหน่งอีเล็กโตรด (ก)  $L = -2$  cm (ข)  $L = 2$  cm เมื่อมีวัตถุรูปทรงสี่เหลี่ยมวางทางด้านขวาของกราวด์

เมื่อพิจารณาการวางแผนอีเล็กโตรดและกราวด์แบบ Chaktranond ( $L = -2$  cm) [12] ดังรูปที่ 9 (ก) พบรูปแบบการเกิดของโคลโนร์วินด์ตามปกติ แต่มีลักษณะการหมุนวนตามรูปแบบการเกิดของโคลโนร์วินด์ตามปกติ แต่มีการแยกการหมุนวนออกเป็นสองส่วนเนื่องจากของไหหลปะกะกับขอบวัตถุรูปทรงสี่เหลี่ยม โดยด้านหน้าของวัตถุรูปทรงสี่เหลี่ยมเกิดการหมุนวนเป็นโคลโนร์วินด์ที่มีความหนาแน่นของการหมุนวนมากกว่า ส่วน

ด้านบนให้ค่าการหมุนวนที่เบาบางกว่า เนื่องจากความหนาแน่นของประจุไฟฟ้าที่เบาบางกว่านั้นเอง การหมุนวนของลมได้มาจากผลของแรงเฉือนของอากาศกับสนามไฟฟ้า แต่เมื่อพิจารณาการวางอีเล็กโตรดที่  $L = 2 \text{ cm}$  ดังรูปที่ 9 (ข) เนื่องจากทิศทางการเคลื่อนที่ของประจุไฟฟ้าเปลี่ยนไป อีกทั้งยังมีผลจากการวางวัตถุรูปทรงสี่เหลี่ยม มาบังตำแหน่งการหมุนวนเดิม ทำให้ห้องไอลเกิดการหมุนวนด้านหลังวัตถุรูปทรงสี่เหลี่ยม เมื่อพิจารณาผิวนของวัตถุรูปทรงสี่เหลี่ยมจากรูปที่ 9 (มีแรงดันไฟฟ้า) เปรียบเทียบกับรูปที่ 8 (ไม่มีแรงดันไฟฟ้า) พบว่าการใช้สนามไฟฟ้าสามารถทำให้กระแสลมแนวที่ผิวนของวัตถุรูปทรงสี่เหลี่ยมได้มากกว่าอันจะทำให้ลดความเร็วเรียบร้อยได้มากกว่าตามไปด้วย



รูปที่ 10 ความเร็วของของไอลในแนวแกน x เมื่อพิจารณาที่กึ่งกลางวัตถุรูปทรงสี่เหลี่ยม ( $x=0.0225 \text{ m}$ )



รูปที่ 11 วอทิชิตี้ของของไอลที่มีการเปลี่ยนแปลงตำแหน่งอีเล็กโตรดพิจารณาที่ผิวนของวัตถุรูปทรงสี่เหลี่ยม ( $y = -0.015 \text{ m}$ ) เมื่อมีวัสดุตัวอย่างวางทางด้านขวาของกราวด์

พิจารณาความเร็วของของไอลในแนวแกน x เมื่อพิจารณาที่กึ่งกลางวัตถุรูปทรงสี่เหลี่ยม ( $x = 0.0225 \text{ m}$ ) ที่  $y = -0.075 \text{ ถึง } 0.075 \text{ m}$  คือ ความสูงของหอ ( $H_t$ ) จากรูปที่ 10 พบว่าที่  $y = -0.075 \text{ ถึง } -0.015 \text{ m}$  คือ ความเร็วในวัตถุรูปทรงสี่เหลี่ยมซึ่งเป็นวัตถุไมลีนไกล (No-slip condition) ความเร็วบริเวณดังกล่าวจึงเป็นศูนย์ ต่อมาพิจารณาความเร็วในแนวแกน x ที่ไม่มี EHD พนว่ามีลักษณะเป็นการไอลที่มีการพัฒนาเต็มที่ (Fully Developed Flow) เมื่อพิจารณาที่  $L = 2 \text{ cm}$  ของไอลผลักให้สนามไฟฟ้าเคลื่อนที่ไปด้วยความเร็วที่น้อย

แสดงว่าของไอลบริเวณนี้เคลื่อนที่ชา แต่เมื่อพิจารณาที่  $L = -2 \text{ cm}$  พนว่าความเร็วของของไอลที่บริเวณใกล้ของบันของวัตถุรูปทรงสี่เหลี่ยมมีค่าสูงกว่าเมื่อไม่มี EHD และ  $L = 2 \text{ cm}$  แสดงว่าสนามไฟฟ้าสามารถผลักให้ของไอลเคลื่อนที่ไปได้เร็วขึ้น อันจะส่งผลต่อการเพิ่มการถ่ายเทมวลที่มากขึ้นตามไปด้วย

เนื่องจากเป็นการศึกษาวัตถุรูปทรงสี่เหลี่ยมที่มีขอบทุกด้าน เป็นวัสดุไมลีนไกลจึงใช้การพิจารณาจากค่าวอทิชิตี้แทน ทำให้สามารถทราบการหมุนวนของของไอลที่ส่งผลต่อการเพิ่มการถ่ายเทมวล จากรูปที่ 11 เมื่อวางวัตถุรูปทรงสี่เหลี่ยมวางทางด้านขวาของกราวด์ ที่ตำแหน่ง  $x = 0.005 \text{ ถึง } 0.04 \text{ m}$  พนว่าค่าวอทิชิตี้จะเกิดเด่นชัดที่ผิวนของวัตถุรูปทรงสี่เหลี่ยม ซึ่งค่าวอทิชิตี้เป็นปริมาณแรกต่อร ของการที่ค่าดินบนแสดงว่าทิศทางสวนกับทิศทางอ้างอิง จากรูปพบว่าค่าวอทิชิตี้มีค่ามากที่สุดที่ขอบซ้ายและขอบขวา เมื่อวางอีเล็กโตรดด้านซ้ายและด้านขวาของกราวด์ ตามลำดับ

#### 4.3.2 ผลของการเปลี่ยนแปลงตำแหน่งอีเล็กโตรด เมื่อมีวัตถุรูปทรงสี่เหลี่ยมวางด้านซ้ายของกราวด์

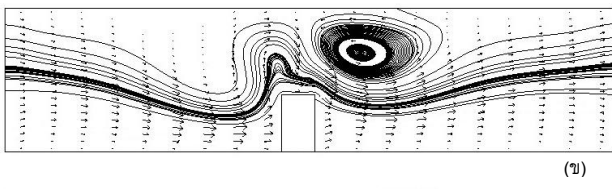
มีการนำวัตถุรูปทรงสี่เหลี่ยมมาวางทางด้านซ้ายของกราวด์ ที่ตำแหน่ง  $x = -0.04 \text{ ถึง } -0.005 \text{ m}$  เมื่อไม่มีแรงดันไฟฟ้า พนว่ารูปแบบการไอลของของไอลมีลักษณะเช่นเดียวกับรูปที่ 8 แต่เมื่อพิจารณาแรงดันไฟฟ้า พนว่ารูปแบบการไอลเป็นรูปที่ 12 เมื่อของไอลกระแทบผิวตั้งรูปทรงสี่เหลี่ยมจะเปลี่ยนทิศทางของกระแสลม แต่จะเกิดการหมุนวนด้านหลังวัสดุตัวอย่าง ซึ่งมีลักษณะคล้ายกันทั้งสองรูป แตกต่างกันที่รูปที่ 12 (ก) เมื่อของไอลให้เป็นเส้นตรงเมื่อโดนเหนี่ยวนาจากสนามไฟฟ้าจะเกิดเส้นการไอลที่โดยไปทางอีเล็กโตรดที่วางด้านซ้ายของกราวด์ แต่รูปที่ 12 (ข) เส้นการไอลจะโดยไปทางด้านขวา เนื่องจากอีเล็กโตรดที่วางด้านขวาของกราวด์นั้นเอง

เมื่อพิจารณาความเร็วของของไอลในแนวแกน x เมื่อพิจารณาที่กึ่งกลางวัตถุรูปทรงสี่เหลี่ยม ( $x = -0.0225 \text{ m}$ ) ที่  $y = -0.075 \text{ ถึง } 0.075 \text{ m}$  จากรูปที่ 13 พนว่าความเร็วในแนวแกน x ที่ไม่มี EHD มีลักษณะเช่นเดียวกับรูปที่ 10 เมื่อพิจารณาที่  $L = 2 \text{ cm}$  ของไอลผลักให้สนามไฟฟ้าเคลื่อนที่ไปด้วยความเร็วที่น้อย ซึ่งความเร็วส่วนใหญ่จะไปที่ขอบท่อด้านบน ซึ่งไม่สามารถนำมาใช้งานให้เกิดประโยชน์ได้ แต่เมื่อพิจารณาที่  $L = -2 \text{ cm}$  พนว่าความเร็วของของไอลที่บริเวณใกล้ขอบบนของวัตถุรูปทรงสี่เหลี่ยมมีค่าสูงกว่าเมื่อไม่มี EHD แสดงว่าสนามไฟฟ้าสามารถนำกระแสลมมาใช้ในการถ่ายเทมวลได้

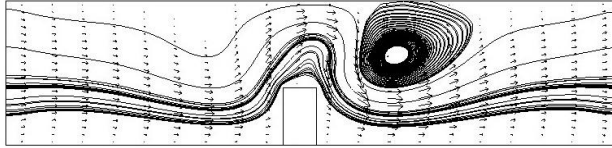
เมื่อพิจารณาความเร็วของของไอลในแนวแกน x เมื่อพิจารณาที่กึ่งกลางวัตถุรูปทรงสี่เหลี่ยมทางด้านซ้ายของกราวด์ พนว่าค่าวอทิชิตี้จะเกิดเด่นชัดที่ผิวนของวัตถุรูปทรงสี่เหลี่ยม เช่นกัน แต่ในกรณีนี้จะเห็นว่าค่าวอทิชิตี้จะเด่นที่  $L = -2 \text{ cm}$  เท่านั้น เนื่องจากเมื่อพิจารณารูปแบบการไอลของของไอลในรูปที่ 14 พนว่ารูปที่ 14 (ก) ของไอลแบบพิวต์ของวัตถุรูปทรงสี่เหลี่ยมได้ดีกว่ารูปที่ 14 (ข) จึงเป็นผลทำให้เกิดการหมุนวนที่ผิวนของวัตถุรูปทรงสี่เหลี่ยมเป็นอย่างดี อันจะส่งผลต่อค่าวอทิชิตี้ที่ดีกว่าด้วย

Flow →

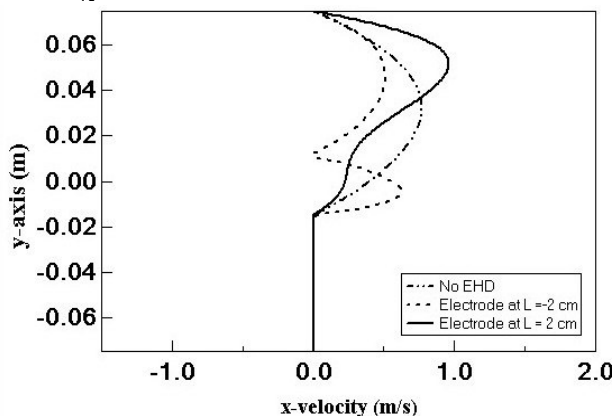
(ก)



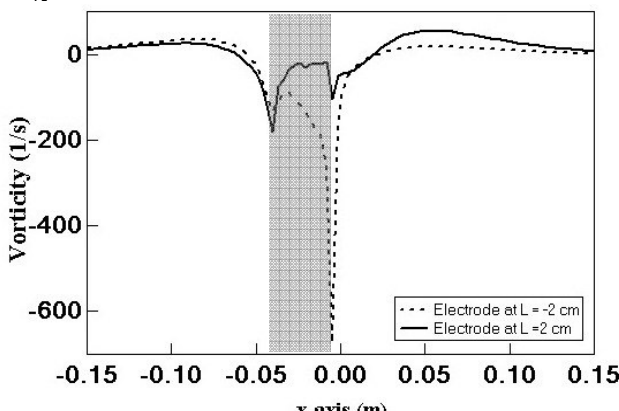
(x)



รูปที่ 12 รูปแบบการไฟล์ของไฟล์ที่มีการเปลี่ยนแปลงตำแหน่งอิเล็กโทรด พิจารณาที่  $y = -0.015 \text{ m}$  (x)  $L = -2 \text{ cm}$  (y)  $L = 2 \text{ cm}$  เมื่อมีวัตถุรูปทรงสี่เหลี่ยมวางด้านข้างของกราวด์



รูปที่ 13 ความเร็วของไฟล์ในแนวแกน x เมื่อพิจารณาที่กึ่งกลาง  
วัตถุรูปทรงสี่เหลี่ยม ( $x = -0.0225 \text{ m}$ )



รูปที่ 14 ความเร็วของไฟล์ในแนวแกน x ที่มีการเปลี่ยนแปลง  
ตำแหน่งอิเล็กโทรด พิจารณาที่ผิวของวัตถุรูปทรงสี่เหลี่ยม ( $y = -0.015 \text{ m}$ ) เมื่อมีวัตถุรูปทรงสี่เหลี่ยมวางด้านข้างของกราวด์

#### 4.4 ผลของค่าอัพธิตี้เฉลี่ยที่ผิวของวัตถุรูปทรงสี่เหลี่ยมเมื่อมี การเปลี่ยนแปลงตำแหน่งอิเล็กโทรด และวัตถุรูปทรงสี่เหลี่ยม

เมื่อบ้อนแรงดันไฟฟ้าไปที่ปลายข้าวอิเล็กโทรดจะเกิดโคลโนวินด์ในอากาศบริเวณเหนือวัตถุรูปทรงสี่เหลี่ยม ทำให้เกิดการถ่ายเทมวลของของไฟล์ เป็นผลให้เกิดการลดความชื้นที่ผิวของวัสดุที่ต้องการอบแห้ง จึงนำเสนอค่าอัพธิตี้เฉลี่ยที่ผิวของวัตถุรูปทรงสี่เหลี่ยม ดังตารางที่ 2 เนื่องจากอัพธิตี้ที่ส่วนไปที่ผิวอย่างมากยิ่งทำให้ลดเวลา  
รีเลยอร์ที่ผิวได้เร็ว อันจะทำให้วัสดุที่ต้องการอบแห้ง แห้งเร็วยิ่งขึ้น

จากรายงานแสดงให้เห็นว่าการใช้แรงดันไฟฟ้าและลมที่เท่ากัน แต่ แตกต่างกันที่ตำแหน่งการวางอิเล็กโทรด และตำแหน่งการวางวัตถุรูปทรงสี่เหลี่ยมที่ต้องการอบแห้งจะทำให้ได้อัพธิตี้เฉลี่ยที่ผิวลดลง รูปทรงสี่เหลี่ยมต่างกัน พบว่าเมื่อวางอิเล็กโทรดไว้ด้านข้างของกราวด์ จะเพิ่มความเร็วของไฟล์ที่ดีกว่าการวางอิเล็กโทรดไว้ด้านขวาของกราวด์ เมื่อพิจารณาจากรูปที่ 13 (x) การหมุนเวียนของของไฟล์หนาแน่นมากบริเวณผิวของวัตถุรูปทรงสี่เหลี่ยมอันจะทำให้เกิดค่าอัพธิตี้เฉลี่ยมากขึ้น แต่เมื่อพิจารณาจากรูปที่ 15 (x) การหมุนเวียนของของไฟล์เกิดใกล้จากผิวของวัตถุรูปทรงสี่เหลี่ยม ทำให้ค่าอัพธิตี้เฉลี่ยลดลงผิวของวัตถุรูปทรงสี่เหลี่ยมน้อยลงผลต่อการอบแห้งที่ไม่ดีตามไปด้วย

#### ตารางที่ 2 ค่าอัพธิตี้เฉลี่ยที่ผิวของวัตถุรูปทรงสี่เหลี่ยม

ค่าอัพธิตี้เฉลี่ยที่ผิวของวัตถุรูปทรงสี่เหลี่ยม(1/s)		
วัตถุรูปทรงสี่เหลี่ยมวาง	$L = -2 \text{ cm}$	283.107
ด้านขวาของกราวด์	$L = 2 \text{ cm}$	177.542
วัตถุรูปทรงสี่เหลี่ยมวาง	$L = -2 \text{ cm}$	186.137
ด้านซ้ายของกราวด์	$L = 2 \text{ cm}$	51.974

#### 5. บทสรุปและอภิปรายผล

งานวิจัยนี้มุ่งเน้นศึกษาการใช้สนามไฟฟ้าร่วมกับลมเพื่อเพิ่มประสิทธิภาพในการอบแห้งด้วยวิธีการจำลองเชิงตัวเลขในแบบจำลองสองมิติ พบว่า

(1) การวางอิเล็กโทรดทางด้านซ้ายของกราวด์ เมื่อมีวัสดุตัวอย่างทำให้เกิดการหมุนเวียนของโคลโนวินด์ด้านบน ส่วนการวางอิเล็กโทรดทางด้านขวาของกราวด์จะทำให้เกิดการหมุนเวียนในทิศทางตรงกันข้าม

(2) พิจารณาสนามไฟฟ้าที่ตำแหน่งกึ่งกลางห้อง เมื่อมีวัตถุรูปทรงสี่เหลี่ยม พบว่าเมื่อวางอิเล็กโทรดทางด้านซ้ายของกราวด์ ( $L = -2 \text{ cm}$ ) จะให้ค่าสนามไฟฟ้าสูงสุดเกิดทางด้านซ้ายของกราวด์ แต่เมื่อพิจารณาอิเล็กโทรดวางทางด้านขวาของกราวด์ ( $L = 2 \text{ cm}$ ) จะให้ค่าสนามไฟฟ้าต่ำสุดเกิดทางด้านขวาของกราวด์ แต่ให้สนามไฟฟ้าเกิดแบบเดียวกัน เป็นลักษณะที่สมมาตรห้อง

(3) การวางอิเล็กโทรดไว้ทางด้านซ้ายของกราวด์จะเพิ่มความเร็วลมที่ดีกว่าการวางอิเล็กโทรดไว้ทางด้านขวาของกราวด์ เมื่อมีวัตถุรูปทรงสี่เหลี่ยม อันจะส่งผลต่อการอบแห้งที่ดีขึ้นด้วย รวมทั้งงานวิจัยนี้ยังสนับสนุนงานวิจัยของ Chaktranond [13] ในการวางแผนของอิเล็กโทรด กราวด์และวัตถุรูปทรงสี่เหลี่ยมที่เหมาะสมแล้ว

(4) ค่าอัพธิตี้มีความรุนแรงยิ่งขึ้น ก่อให้เกิดการลดเวลาการเยื่อร์ที่ผิวของวัตถุที่ต้องการอบแห้ง ส่งผลให้เกิดการถ่ายเทมวล อันจะทำให้เกิดการอบแห้งที่เร็วขึ้นตามไปด้วย

#### 6. กิตติกรรมประการ

ขอขอบพระคุณกองวิชาชีวกรรมเครื่องกล ส่วนการศึกษา โรงเรียนนายร้อยพระจุลจอมเกล้า คณะกรรมการวิจัยแห่งชาติ (วช.) และมหาวิทยาลัยธรรมศาสตร์ ที่ให้การสนับสนุนด้านทุนวิจัย

คำอธิบายสัญลักษณ์

## ສัญลักษณ์

$E$	ສານາໄຟຟ້າ (V/m)
$F_E$	ແຮງເນື່ອຈາກປະຈຸ (C/m <sup>2</sup> s)
$H_T$	ຄວາມສູງຂອງທ່ອ (m)
$H$	ຮະຍະທ່າງຂອງອື່ເລັກໂຕຣດແລກຮາວດີໃນແນວແກນ $y$ (m)
$L_T$	ຄວາມຍາວຂອງທ່ອ (m)
$L$	ຮະຍະທ່າງຂອງອື່ເລັກໂຕຣດແລກຮາວດີໃນແນວແກນ $x$ (m)
$P$	ຄວາມດັນ (Pa)
$q$	ປະຈຸໄຟຟ້າ (C/m <sup>3</sup> )
$Re$	ເຮົຍໂນລດນັ້ນເບົອຣ
$S$	ວັດຖຸປຽບທຽບສື່ເຫຼື່ຍມ
$t$	ເວລາ (s)
$u$	ຄວາມເຮົວລມ (m/s)
$V$	ແຮງດັນໄຟຟ້າ (kV)
ສัญลักษณ์ກຳກັບລໍາງ	
$in$	ທາງເຂົາ
$o$	ຂ້າວື່ເລັກໂຕຣດ
$x$	ພິກັດໃນແນວແກນນອນ
$y$	ພິກັດໃນແນວແກນຕັ້ງ
ອັກຊະກວິກ	
$\varepsilon$	ເບົອນົມຕິວິຕີຂອງໂຫລ (F/m)
$\mu$	ຄວາມໜືນດີພລຄາສຕົວ (Pa.s)
$\rho$	ຄວາມທານແນ່ນ (kg/m <sup>3</sup> )
$\omega$	ວອກົກືຕີ (s <sup>-1</sup> )

## 7. ເອກສາຮ້າອ້າງອີງ

- [1] Lai, F.C. and Sharma, R.K. (2005). EHD enhanced drying with multiple needle electrodes, *J. Electrostatics*, vol. 63, pp.223-237.
- [2] Yabe, A., Mori, Y. and Hijikata, K. (1996). Active heat transfer enhancement by utilizing electric fields, *Ann Reviews of Heat Transfer*, vol. 7, pp. 193-244.
- [3] Kasayapanand, N., Tiansuwan, J., Asvapoositkul, W., Vorayos, N., and Kiatsiriroat, T. (2002). Effect of the electrode arrangements in tube bank on the characteristic of electrohydrodynamic heat transfer enhancement: low Reynolds Number, *J. Enhanced Heat Transfer*, vol. 9.
- [4] Kasayapanand, N. (2006). Numerical study of electrode bank enhanced heat transfer. *Applied Thermal Engineering* 26, pp.1471-1480.
- [5] Kasayapanand, N. and Kiatsiriroat, T. (2005). EHD enhanced heat transfer in wavy channel, *International communications in heat and mass transfer*, vol. 32, pp. 809-821.
- [6] Ahmedou, A.O., and Havet, M. (2009). Analysis of the EHD Enhancement of Heat Transfer in a Flat Duct, *IEEE Transactions on Dielectrics and Electrical Insulation* 16, pp.489-494.
- [7] Ahmedou, A.O., Rouaud, O., and Havet, M. (2009). Assessment of the electrohydrodynamic drying process, *Food bioprocess technol* 2, pp.240-247.
- [8] Lai, F.C., and Lai, K. W., (2002). EHD-enhanced drying with wire electrode. *Drying Technology*, 20(7), pp.1393-1405.
- [9] Alem, R. A., and Lai, F.C. (2005). EHD-enhanced drying of partially wetted glass beads. *Drying Technology*, 23: pp.597-609.
- [10] Lai, F.C. (2010). A prototype of EHD-enhanced drying system. *Journal of Electrostatics* 68, pp.101-104.
- [11] Huang, M., and Lai, F.C. (2010). Numerical study of EHD enhanced water evaporation, *J. Electrostatics* 68, pp.364-370.
- [12] Chaktranond, C., and Ratanadecho, P. (2010). Analysis of heat and mass transfer enhancement in porous material subjected to electric fields (effects of particle sizes and layered arrangement), *Experimental Thermal and Fluid Science* 34, 1049–1056.
- [13] Saneeuwong Na Ayuttaya, S., Chaktranond, C. and Rattanadecho, P. (2010). Influence of Electrode Wire Structure on Corona Wind in a 2-D Rectangular Duct Flow (Numerical Analysis). *Paper presents in the 1<sup>st</sup> International Conference on Mechanical Engineering*, 20-22 October, 2010, Ubon Ratchathani, Thailand.
- [14] ສຸວິມລ ເສັ້ນວົງສ ອຸຍຸຮຍາ, ໄຊຍັນຮົງຄ ຈັກຮຽນນັກ, ພຸດູສັກດີ ຮັດນີ້ໂຈ, ຮັບພົງຄ ກຣິວັຈິນທີ, ຮົວສຸດ ສຸນທິນຄະ ແລະ ປີຢັນຕັ້ງ ບຣາອຸລິລີປ (2553). ອົທຒລພຂອງຕໍ່ແໜ່ງການຈັດວາງອື່ເລັກໂຕຣດທີ່ມີຜລຕ່ອກລືກາກຕ່າຍເທົ່ານັ້ນແລະມວລສາຮາໃນວັດພຸຽນແບບນີ້ອື່ມຕົວໃນຮ່ວງ ກະບວນກາຮື່ເລັກໂຕຣໄໂໂໂຣໄດ້ນາມິກສ, ກາຮປະໜຸນວິຊາກາຮື່ເຮົາງການຕ່າຍເທົ່ານັ້ນແລະມວລໃນອຸປະກອນດ້ານຄວາມຮ້ອນ (ຄວັງທີ 9) ນ້າ 224 – 230, ວັນທີ 11-12 ມິນາມຄ 2553, ໂຮງແນມປັດຕາເວີຍ ຮີສອວົກ ແອນດ ສປາ ຈັງຫວັດ ປະຈາບຕີ່ຂັ້ນນີ້
- [15] ຮັບພົງຄ ກຣິວັຈິນທີ, ໄຊຍັນຮົງຄ ຈັກຮຽນນັກ ແລະ ພຸດູສັກດີ ຮັດ ເຕໂຈ (2553). ຜລຂອງກາຮື່ເຮົາງຂ້າວື່ເລັກໂຕຣດທີ່ມີຕອກຮອບແໜ້ງ ຕ້າຍມີຮ້ອນຮ້ວມກັບສານາໄຟຟ້າ, ກາຮປະໜຸນວິຊາກາຮື່ເຮົາງຂ່າຍ ວິທະກຣມເຄື່ອງກລແໜ້ງປະເທດໄທຍ (ຄວັງທີ 24, ວັນທີ 20 -22 ຕຸລາຄ 2553, ໂຮງແນສູນຍິກແກຣນດີແອນດົກຄອນເວັນຫຼື່ນເຫຼັນເຕົອຮ ຈັງຫວັດອຸປະຮານນີ້